

## Synthesis and characterization of Mg-Si thermoelectric compound subjected to mechanical alloying

Chung-Hyo Lee<sup>†</sup>

Dept. of Advanced Materials Science and Engineering, Mokpo National University, Muan 534-729, Korea

(Received April 2, 2007)

(Accepted April 10, 2007)

**Abstract** We have applied mechanical alloying (MA) to get  $Mg_2Si$  thermoelectric material with nano-sized grains. An optimal milling and heat treatment conditions to obtain the single phase of  $Mg_2Si$  compound with fine microstructure were investigated by X-ray diffraction and differential scanning calorimetry (DSC) measurement. The  $Mg_{66.7}Si_{33.3}$  MA samples ball-milled for 20~180 hrs exhibit two broad exothermic heat releases around 220°C and 570°C. On the other hand, MA sample ball-milled for 260 hrs exhibits only a sharp exothermic peak at 230°C. Single phase  $Mg_2Si$  powder can be obtained by MA of  $Mg_{66.7}Si_{33.3}$  mixture for 60 hours and subsequently heated up to 620°C. Sintering of the MA powders was performed in a spark plasma sintering (SPS) machine using graphite dies at 800~900°C under 50 MPa. The shrinkage of sintering sample during SPS was significant at about 200°C. All compact bodies have a high relative density above 94% with metallic glare on the surface.

**Key words** Mechanical alloying,  $Mg_2Si$  thermoelectric material, Differential scanning calorimetry, Nano-sized grains, Spark plasma sintering

## 기계적 합금화에 의한 Mg-Si계 열전화합물의 합성 및 평가

이충효<sup>†</sup>

목포대학교 신소재공학과, 무안, 534-729

(2007년 4월 2일 접수)

(2007년 4월 10일 심사완료)

**요약** 본 연구에서는 나노결정립의  $Mg_2Si$  열전화합물을 제조하기 위하여 기계적 합금화(MA)를 적용하였다. 단상의 초미세  $Mg_2Si$  열전화합물을 얻기 위하여 최적 볼밀조건 및 열처리 조건을 X선 회절분석과 시차주사 열량분석을 이용하여 조사하였다.  $Mg_{66.7}Si_{33.3}$  혼합분말을 20~180시간까지 볼밀 처리한 경우 모든 시료에서 220°C 및 570°C 근방에 broad한 발열 반응이 관찰되었다. 한편  $Mg_{66.7}Si_{33.3}$  혼합분말을 260시간 동안 볼밀 처리한 경우 230°C에 예리한 발열피크를 보였다. 단상의  $Mg_2Si$  화합물은  $Mg_{66.7}Si_{33.3}$  혼합분말을 60시간 동안 MA처리 후 620°C까지 열처리함으로써 얻을 수 있었다. MA 분말시료의 치밀화는 50 MPa, 800~900°C에서 흑연다이를 사용하여 SPS 소결을 실시하였다.  $Mg_2Si$ 계 MA 분말시료의 SPS 소결 시 수축은 200°C 근방에서 현저하게 관찰되었다. SPS법으로 고화된 성형체의 밀도측정 결과, 모든 시료에서 이론밀도의 94% 이상 금속광택을 나타내는 치밀한 소결체임을 알 수 있었다.

## 1. 서 론

최근 에너지나 환경오염 문제해결의 측면에서 열에너지를 전기에너지로 변환시킬 수 있는 열전재료의 개발이 주목되고 있다. 현재 실용화되고 있는 열전재료 중에는 Bi나 Te와 같은 희귀금속을 포함하거나 가공성이 나빠 가격이 비싸며 사용가능 온도도 너무 낮다는 문제점이

지적되고 있다[1]. 한편 재료연구의 관점에서 구성원소가 지구상에 풍부하며 환경에 부담이 적고 리싸이클성이 좋은 재료개발이 요구되고 있다. 이러한 관점에서 금속 silicide는 가장 유망한 재료라 할 수 있다[2-4]. 특히 이들 화합물은 최적의 분말합성 및 bulk화 공정을 개발하여 초미세조직을 가진 열전화합물을 제조할 수 있다면 고온 및 중온영역에서 사용할 수 있는 우수한 열전재료로서 개발될 수 있다.

이중에서  $Mg_2Si$ 는 500~800 K 부근까지의 중간온도 영역에서 가동하는 n형 반도체용 열전변환재료로서 주목을 받고 있다[5, 6]. 지금까지 금속 silicide 중  $Mg_2Si$  외

<sup>†</sup>Corresponding author

Tel: +82-61-450-2491

Fax: +82-61-450-2490

E-mail: chlee@mokpo.ac.kr

에 열전변환재료로서  $\beta\text{-FeSi}_2$ ,  $\text{MnSi}_1$ , 및  $\text{CrSi}_2$  화합물 등에 관한 연구가 행하여지고 있으나 실제 제품화를 고려할 때 소자의 경량화는 매우 중요한 과제중의 하나라 할 수 있다. 그러한 관점에서  $\text{Mg}_2\text{Si}$  화합물은 다른 silicide 화합물에 비하여 비중이 50~60 %로 제품의 경량화에 매우 유리하다.

이상적인 열전재료는 성능지수의 향상을 위해 Seebeck 계수 및 전기전도도가 크고 열전도도가 작은 것이 요구된다. 이 중에서 결정격자의 열전도도는 결정립의 미세화와 결정격자내 strain을 도입시킴으로써 저하시킬 수 있다. 기계적 합금화(Mechanical Alloying: MA)법은 실온에서 행하여지며 환경부하의 발생이 적다는 장점 때문에 비정질 합금분말을 비롯한 각종 기능성 분말재료를 대량으로 제조할 수 있는 방법으로 주목되고 있다. 특히 MA법은 본 연구의 고성능 열전재료 합성과 같이 기계적 에너지의 투여에 의하여 결정립의 초미세화와 결정격자 내 strain을 도입시킬 수 있는 최적 분말제조 공정이라 할 수 있다[7-9].

따라서 본 연구에서는 MA법을 적용하여 Mg-Si계 열전재료 합금분말을 제조하고자 하였다. 기계적 합금화 시 최적 볼밀링 공정변수가 적용되었고  $\text{Mg}_2\text{Si}$  화합물 합성을 위한 MA 분말의 상변화 과정을 자세히 조사하였다. 또한 SPS법에 의한 bulk화를 실시하여 단시간 소결을 통하여 초미세조직을 가진 치밀한 소결체를 얻도록 하였다.

## 2. 실험 방법

본 연구에서 출발원료는 Mg(高純度化學製, 99.9 %, 평균입경 300  $\mu\text{m}$ ) 및 Si(99.999 %, 평균입경 150  $\mu\text{m}$ ) 분말을 사용하여 MA를 실시하였다. 얻어진 MA 합금분말에 대하여 각 단계별 구조변화 및 각종 특성을 평가함으로써 MA 효과를 고찰하였다. 볼밀용기는 내부의 가스치환, 가압 등이 가능하도록 용기에 밸브를 설치하여 볼밀 시 분위기조절이 용이하도록 제작하였다.

기계적 합금화는 불활성 Ar 가스 분위기에서 유성형 볼밀장치(Fritsch P-5)로 실시하였다. 볼밀용기 및 볼의 재질은 소입(燒入) 다이스강 용기와 강구(鋼球)의 조합을 선택하였으며 용기 회전속도 200 rpm,  $\Phi 10 \text{ mm}$  볼 18 개를 사용하여 볼밀처리를 행하였다. 출발원료는 20 g 이었으며 볼과 분말시료의 중량비는 7 : 1로 하였다. MA시 생성된 분말시료는 표면적이 크기 때문에 산화에 특히 주의를 하지 않으면 안된다. 본 실험에서는 고순도 Ar 가스로 치환된 진공형 Glove box 내에서 시료처리를 행하여 산소 및 불순물의 혼입이 최소가 되도록 하였다.

MA에 의하여 제조한 Mg-Si계 분말시료에 대하여 X

선 회절, 열분석 및 물성측정을 통하여 화합물의 생성과정을 조사하였다. X선 회절장치는 Rigaku제 D/max.2200으로 graphite 만곡결정 모노크로메타를 장착하여 Mo-K $\alpha$  특성 X선( $\lambda = 0.7107 \text{ \AA}$ )을 이용하여 실험하였다. 정성분석의 경우에는 continuous scan mode로 2 deg/min의 scan speed,  $2\theta = 10\text{--}40^\circ$  범위에서 회절실험을 행하였으며, 결정립 크기 등 정밀한 측정을 위해서는 step scan mode로 측정을 행하였다. 결정립 크기는 X선 회절 피크의 broadening으로부터 Hall 법에 의하여 평가하였다[10].

열분석은 시차주사열량계(DSC)를 이용하여 볼밀처리 중 분말시료의 상변태 유무, 열량을 평가하여 고상반응의 진행정도를 판단하였다. 열분석 시 승온속도는 20°C/min.을 적용하였다. MA법으로 제조된 초미세  $\text{Mg}_2\text{Si}$  화합물의 bulk체 제조를 위하여 방전플라즈마 소결장치(SPS-515S)를 이용하여 단시간 소결을 실시하였다. 소결은 진공 중에서 소결압력 50 MPa, 승온속도 100°C/min.로 행하였다.

## 3. 결과 및 고찰

Fig. 1에는 Mg-Si계 평형상태도를 나타내었다[11]. 그림에서 알 수 있는 바와 같이 이 합금계의 구성원소인 순 Mg 및 Si 용점차가 매우 크며 33.3 at% Si 조성에  $\text{Mg}_2\text{Si}$  화합물이 존재한다.  $\text{Mg}_2\text{Si}$ 는 congruent melting 화합물로 통상의 직접 용융법에 의한 합금화는 구성원소의 큰 증기압과 비중 차이로 균일한 합금제조가 매우 곤란하다[12].

Fig. 2는  $\text{Mg}_{66.7}\text{Si}_{33.3}$  혼합분말의 MA 시간 변화에 따른 X선 회절패턴을 나타낸 것이다. Mg-Si계의 볼밀처리에서는 Mg의 불 및 용기 부착정도가 매우 심했다. 본

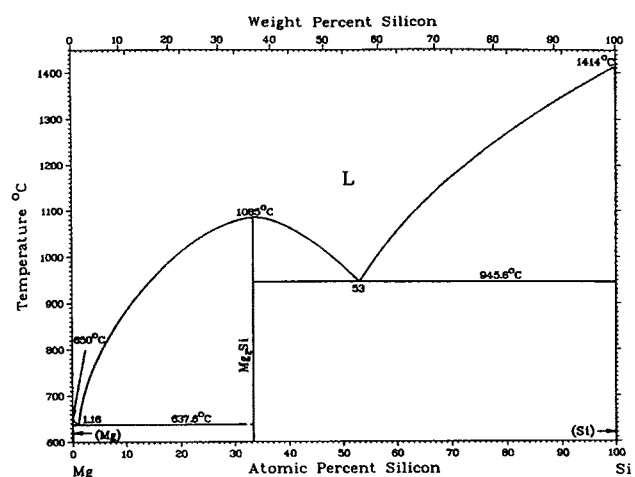


Fig. 1. Equilibrium phase diagram for Mg-Si alloy system.

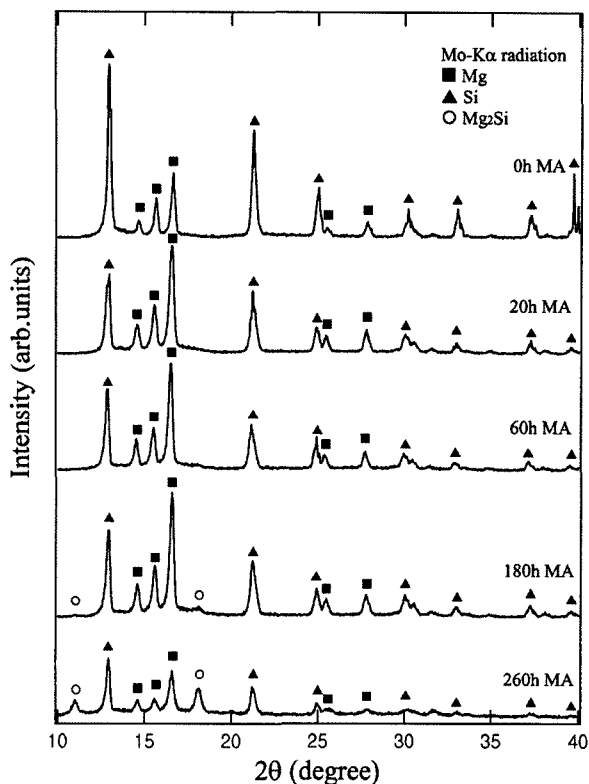


Fig. 2. X-ray diffraction patterns of Mg<sub>66.7</sub>Si<sub>33.3</sub> powders as a function of MA time.

연구에서는 볼밀링 속도를 200 rpm으로 조절하여 20~40시간 간격으로 glove box 내에서 부착된 분말을 제거하면서 최대 260시간까지 볼밀처리를 실시하였다. 그림에서 볼 수 있듯이 MA 처리를 20시간까지 행하면 결정립의 미세화 및 불균일 변형의 축적에 의하여 회절선 피크는 폭이 넓어지고(broadening) 회절선 강도는 보다 취성원소인 Si 회절선이 상대적으로 현저하게 감소함을 알 수 있다. 여기서 MA 처리를 180시간까지 행하면 Mg<sub>2</sub>Si 화합물의 생성에 의한 회절선이 관찰된다. 한편 MA 처리를 260시간까지 실시하면 Mg<sub>2</sub>Si 화합물의 회절피크가 뚜렷하게 관찰되나 여전히 출발시료 Mg 및 Si가 잔존하여 고상반응이 진행 중임을 알 수 있다.

Fig. 3은 Mg<sub>66.7</sub>Si<sub>33.3</sub> 혼합분말의 MA에 따른 형상변화를 알아보기 위하여 SEM 관찰 결과를 나타낸 것이다. 그림에서 볼 수 있듯이 MA 0시간에는 순 Mg 및 순 Si의 물리적인 혼합상태로 입자크기가 큰 분말이 Mg이며 Si은 입자크기에 분포가 있음을 볼 수 있다(Fig. 3a). 여기서 MA 처리를 20시간까지 실시하면 냉간 압접에 의해 100 μm 정도의 불규칙한 형상의 분말이 얻어지며 (Fig. 3b), MA 60시간에는 평균입자 크기가 30 μm의 매우 균일한 분말이 얻어진다(Fig. 3c). 한편 MA를 260 시간까지 계속 실시하면 Fig. 3d에 보여주 듯이 입자가

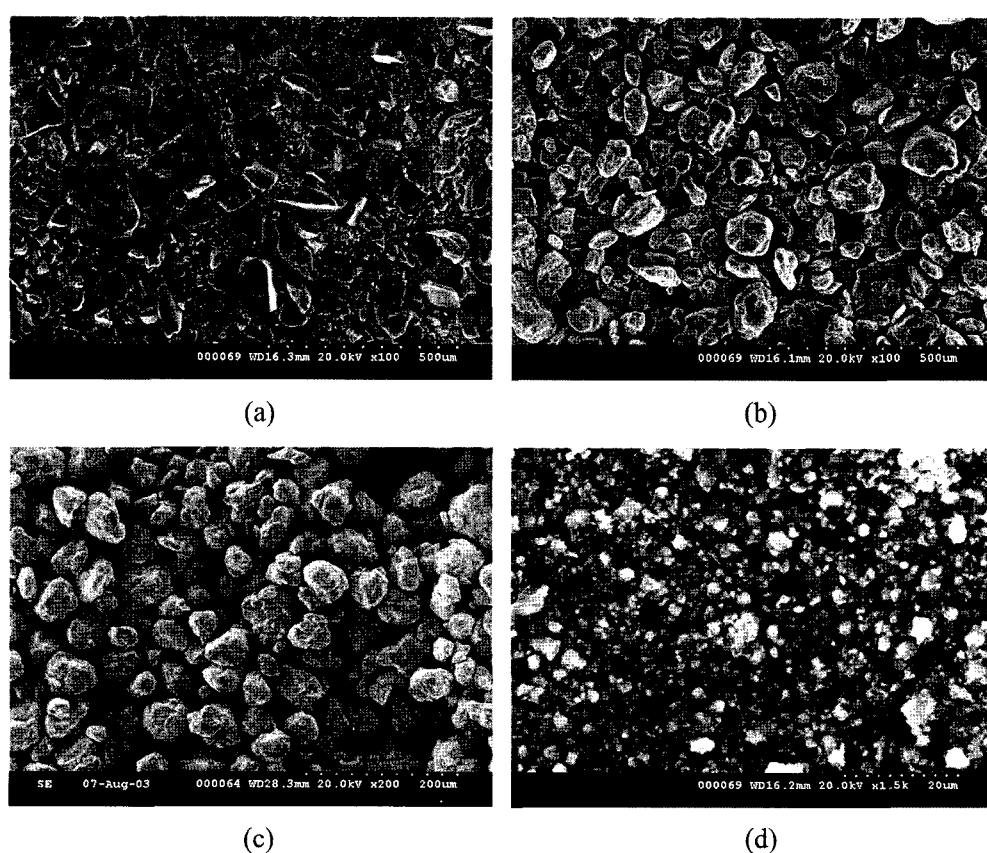


Fig. 3. Scanning electron micrographs of Mg<sub>66.7</sub>Si<sub>33.3</sub> powders mechanically alloyed for (a) 0 h, (b) 20 h, (c) 60 h, and (d) 260 h.

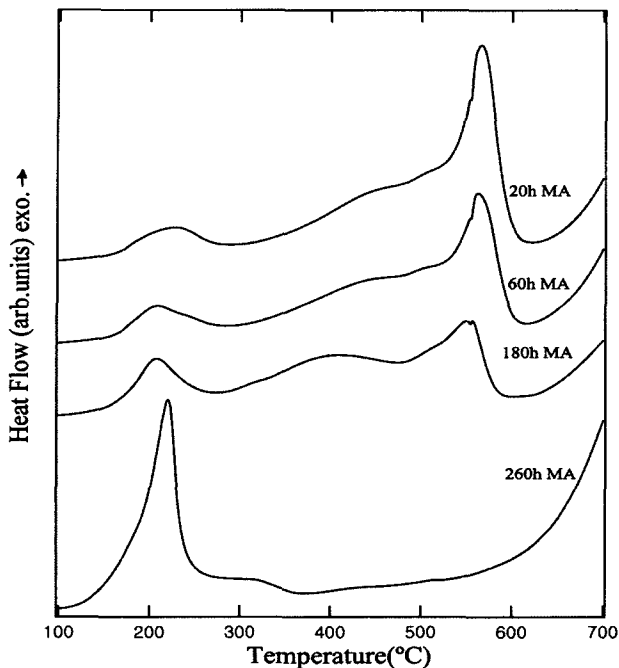


Fig. 4. DSC spectra of  $\text{Mg}_{66.7}\text{Si}_{33.3}$  powders as a function of MA time.

점차 미세해지며 평균입경  $2\sim 3 \mu\text{m}$ 의 매우 미세한 합금 분말이 얻어짐을 알 수 있다.

Fig. 4는 MA에 의하여 얻어진 Mg-Si계 합금분말의

상분석 및 열처리 조건을 알아보기 위하여 열분석을 행한 결과를 나타내었다. 그럼에서 보여주 듯이 20, 60 및 180시간 MA 처리한 시료의 DSC 측정에서는 모두 2개의 발열반응이 관찰되었으며 비교적 저온인  $200^\circ\text{C}$  부근에 broad한 발열반응 및  $580^\circ\text{C}$  부근에는 예리한 발열반응이었다. 한편 260시간 MA 처리한 시료에서는  $200^\circ\text{C}$  부근에 큰 발열피크만이 관찰되었다.

Fig. 5에는  $\text{Mg}_{66.7}\text{Si}_{33.3}$  혼합분말을 20시간 MA 처리한 경우 승온에 따른 상변화를 자세히 조사하기 위하여 각각의 온도까지 승온처리 후 X선 회절에 의한 구조변화를 나타내었다. 그림에서 알 수 있는 바와 같이  $300^\circ\text{C}$  까지 승온시켰을 경우 소량의  $\text{Mg}_2\text{Si}$  화합물 생성과 함께 Mg 및 Si 회절선 폭이 감소함을 알 수 있다. 즉  $200^\circ\text{C}$  부근의 broad한 발열반응은 대부분 밀링과정 중심하게 냉간 가공된 MA 분말의 승온에 따른 결정립의 성장, 결정결합 및 도입된 불균일歪(strain)의 완화에 의한 것으로 판단된다[8, 13]. 또한  $700^\circ\text{C}$ 까지 승온시켰을 경우에는  $\text{Mg}_2\text{Si}$  화합물 단상이 생성되는 것으로부터  $580^\circ\text{C}$  부근의 sharp한 발열 peak는  $\text{Mg}_2\text{Si}$  상 생성에 의한 발열반응임을 알 수 있다[14].

$\text{Mg}_{66.7}\text{Si}_{33.3}$  혼합분말을 60시간 MA 처리한 시료의 경우 각각  $300^\circ\text{C}$ ,  $500^\circ\text{C}$  및  $700^\circ\text{C}$  승온 후 상변화를 조사하기 위하여 X선 회절 결과를 Fig. 6에 나타내었다. Fig. 4의 열분석 결과에서 보여주듯이 20시간 MA 처리

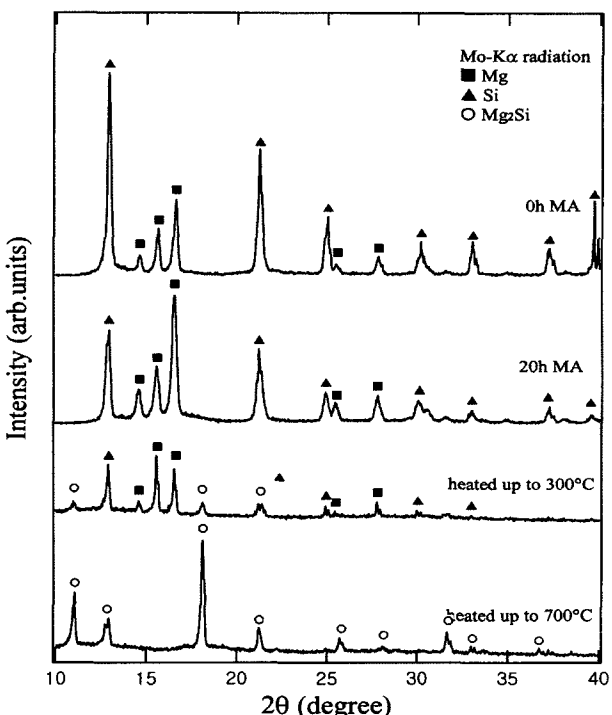


Fig. 5. XRD spectra of  $\text{Mg}_{66.7}\text{Si}_{33.3}$  powders after mechanical alloying for 20 h and heated up to  $300^\circ\text{C}$  and  $700^\circ\text{C}$ , respectively.

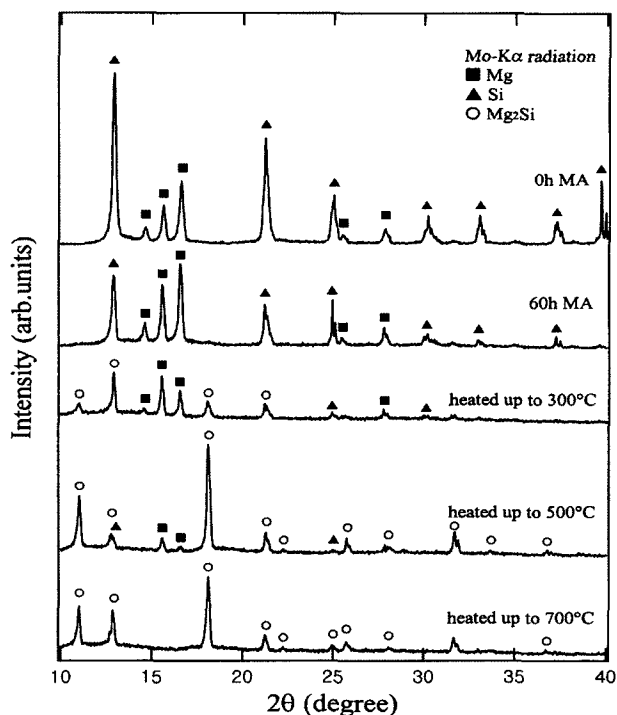


Fig. 6. XRD spectra of  $\text{Mg}_{66.7}\text{Si}_{33.3}$  powders after mechanical alloying for 60 h and heated up to  $300^\circ\text{C}$ ,  $500^\circ\text{C}$  and  $700^\circ\text{C}$ , respectively.

한 시료에 비하여 60시간 동안 MA 처리한 경우 580°C 부근의 발열피크는 MA 시간에 따라 점점 감소하며 그 대신 400°C를 중심으로 broad한 발열반응이 나타남을 알 수 있다. 이것은 Fig. 6에서 알 수 있는 바와 같이 MA 60시간 시료에서는 300°C 이후 500°C까지 승온 시 Mg<sub>2</sub>Si 화합물이 대부분 생성되는 것으로 사료된다. 또한 580°C 부근의 발열피크가 broad하게 관찰되며 700°C 이후 생성된 Mg<sub>2</sub>Si 화합물 회절선 폭이 감소하는 것은 잔존하는 Mg 및 Si로부터 Mg<sub>2</sub>Si 화합물의 생성과 동시에 이미 생성된 화합물상의 결정립 성장 및 도입된 불균일 度(strain)의 완화가 함께 일어나고 있는 것으로 판단된다[14].

한편 Mg<sub>66.7</sub>Si<sub>33.3</sub> 혼합분말을 260시간 MA 처리한 시료의 경우 Fig. 7에서 보여주듯이 300°C까지 열처리함으로써 Mg<sub>2</sub>Si 화합물 단상을 제조할 수 있음을 알 수 있었다. 여기서 단상의 Mg<sub>2</sub>Si 화합물 제조를 위하여 비교적 짧은 시간 동안 MA 처리 후 열처리를 실시하여 화합물이 생성되는 조건을 조사하였다. Fig. 8에는 60시간 볼밀처리 한 MA 분말시료에 대하여 열처리 및 볼밀 처리 후 X선 회절을 통한 구조변화를 나타내었다. 그럼에서 알 수 있는 바와 같이 60시간 MA 처리한 분말시료의 경우 620°C까지 승온 열처리를 실시하면 단상의 Mg<sub>2</sub>Si 화합물이 생성됨을 알 수 있었다. 또한 이렇게 얻어진 Mg<sub>2</sub>Si 화합물 분말을 16시간 동안 볼밀 처리한 결

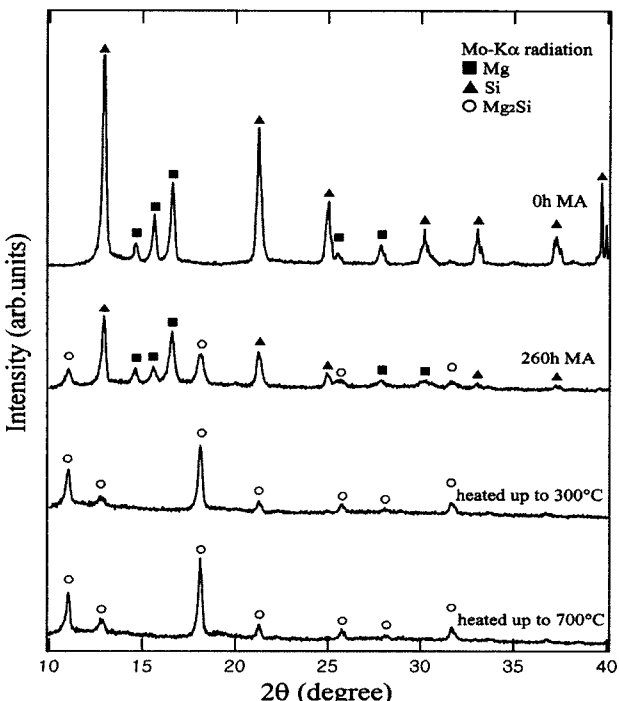


Fig. 7. XRD spectra of Mg<sub>66.7</sub>Si<sub>33.3</sub> powders after mechanical alloying for 260 h and heated up to 300°C and 700°C, respectively.

과 평균 결정립 크기가 약 50 nm인 초미세 Mg<sub>2</sub>Si 열전화합물임을 알 수 있었다[9, 10].

MA 분말시료의 소결거동을 알아보기 위하여 60시간 MA를 행한 Mg<sub>66.7</sub>Si<sub>33.3</sub> 혼합분말에 대하여 SPS 소결 시 최고 900°C까지 승온시킨 후 시료의 수축곡선을 각각 Fig. 9에 나타내었다. 그림에서 보여주듯이 MA 분말은 소결개시 후 수축은 200~300°C 및 600~700°C 구간에서 크나 전반적으로 급격하게 발생하지 않으며 900°C까

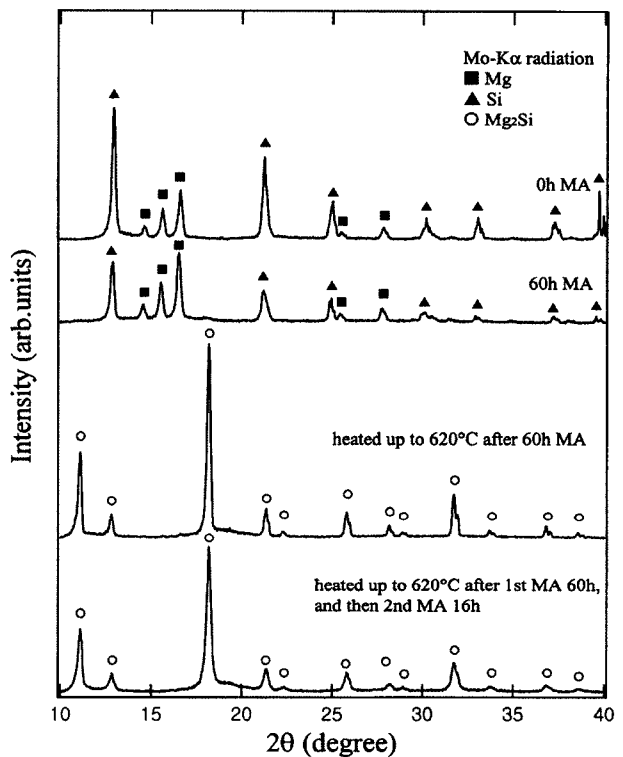


Fig. 8. XRD spectra of Mg<sub>66.7</sub>Si<sub>33.3</sub> powders after mechanical alloying for 60 h and heated up to 620°C and subsequently ball milled for 16 h.

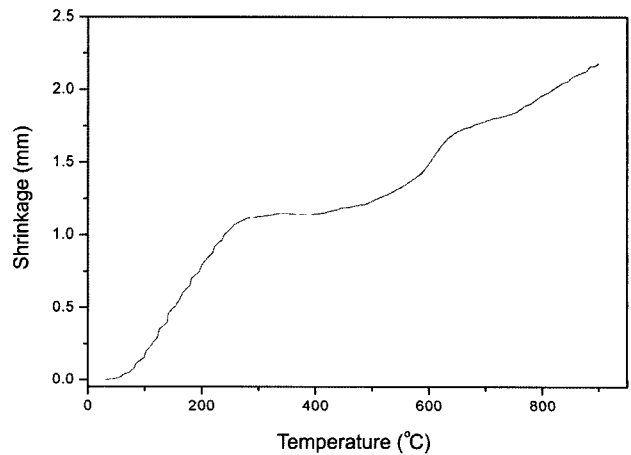


Fig. 9. The variation of shrinkage during SPS of 60 h MA sample heated up to 900°C.

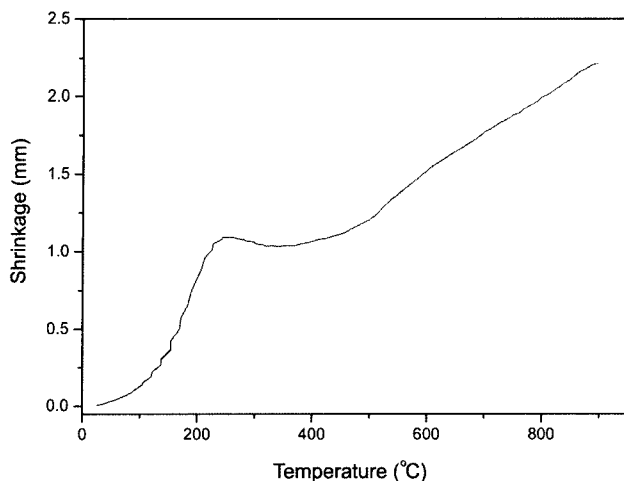


Fig. 10. The variation of shrinkage during SPS of 260 h MA sample heated up to 900°C.

지 비교적 단조롭게 수축함을 알 수 있다. 여기서 수축이 큰 200°C 및 600°C 구간은 Fig. 4의 열분석 결과에서도 보여주듯이 Mg<sub>2</sub>Si 화합물의 생성에 의한 것으로 판단된다.

Fig. 10에는 260시간 MA를 행한 Mg-Si MA 분말에 대하여 SPS 소결 시 900°C까지 승온시킨 후 시료의 수축곡선을 각각 나타내었다. 그럼에서 알 수 있는 바와 같이 시료의 수축량이 60시간 동안 MA 처리한 시료와 대조적으로 200~300°C 부근에서 매우 크며 그 후 단조롭게 증가하였다. 즉 긴 시간 동안 볼밀처리 된 MA 260시간 시료에서는 비교적 낮은 200°C에서 단상의 Mg<sub>2</sub>Si 화합물 생성과 함께 큰 수축이 일어난 후 온도증가에 따라 서서히 치밀화가 진행됨을 알 수 있다.

Table 1에는 Mg<sub>66.7</sub>Si<sub>33.3</sub> 혼합분말을 60시간(Sample A) 및 260시간(Sample B) 동안 각각 MA 처리 후 800~900°C에서 SPS 소결시킨 성형체의 밀도측정 결과와 이론밀도를 비교하여 나타내었다. 표에서 알 수 있듯이 MA 처리를 260시간 행한 후 900°C에서 소결시킨 시료의 경우 이론밀도의 99%로 가장 치밀한 성형체가 얻어졌다. 또한 60시간 MA 처리한 시료의 경우에서도 SPS 소결 중 수축은 서서히 진행되고 성형체의 과단현상은 관찰되지 않았으며 모두 이론밀도의 94% 이상으로 치밀한 소결체를 얻을 수 있었다.

Table 1  
Change in relative density of SPS compacts for 60 h MA (sample A) and 260 h MA (sample B) powder under various sintering temperature

	Theory density	Relative density (%)
Sample A-800	1.940	93
Sample A-900	1.940	96
Sample B-800	1.940	92
Sample B-900	1.940	99

밀한 소결체를 얻을 수 있었다.

#### 4. 결 론

본 연구에서는 Mg<sub>2</sub>Si 열전화합물을 제조하기 위하여 Mg-Si계 혼합분말의 MA 처리를 실시하여 합금분말을 얻었으며 SPS 소결법으로 MA 분말의 치밀화를 실시하여 다음과 같은 결론을 얻었다.

1) Mg<sub>66.7</sub>Si<sub>33.3</sub> 혼합분말에 대한 기계적 합금화처리를 최대 260시간 실시한 결과, Mg, Si 및 Mg<sub>2</sub>Si의 혼합상이 관찰되었다.

2) 단상의 Mg<sub>2</sub>Si 화합물은 60시간 볼밀처리 후 620°C 까지 또는 260시간 MA 처리 후 300°C까지 열처리 함으로써 제조할 수 있었다.

3) 60시간 MA 처리 및 열처리법으로 얻어진 Mg<sub>2</sub>Si 화합물 분말을 16시간 동안 볼밀처리 함으로써 평균결정집크기가 약 50 nm인 초미세 열전합금분말을 얻을 수 있었다.

4) Mg-Si계 MA 분말을 방전플라즈마 소결하여 소결거동을 조사한 결과, MA 60 및 260시간의 경우 각각 900°C와 800°C의 소결온도에서 94% 이상의 상대밀도를 나타내는 치밀한 Mg<sub>2</sub>Si 소결체를 제조할 수 있었다.

#### 감사의 글

본 연구는 2003년도 한일국제공동연구지원(F01-2003-000-00078-0)에 의하여 수행되었으며, 이에 감사드립니다.

#### 참 고 문 헌

- [1] S. Sugihara, S. Kawashima, H. Suzuki and R. Sekine, "Basic approach to thermoelectric materials", J. Jpn. Inst. Metals 63 (1999) 1368.
- [2] M. Umemoto, Z.G. Liu, R. Omatsuzawa and K. Tsuchiya, "Production and characterization of Mn-Si thermoelectric material", J. Metastable and Nanocrystalline Materials 8 (2000) 918.
- [3] Y. Isoda, Y. Imai and Y. Shinohara, "The effect of crystal grain size on thermoelectric properties of sintered  $\beta$ -FeSi<sub>2</sub>", J. Jpn. Inst. Metals 67 (2003) 410.
- [4] H. Lange, "Electron properties of semiconducting silicides", Phys. Stat. Sol. 201 (1997) 3.
- [5] Y. Noda, H. Kon, Y. Furukawa, A. Nishida and K. Masumoto, "Temperature dependence of thermoelectric properties of Mg<sub>2</sub>Si<sub>0.6</sub>Ge<sub>0.4</sub>", Materials Transactions JIM 33 (1992) 851.
- [6] G.H. Li and Q.P. Kong, "Processing and thermal stability of nano-Mg<sub>2</sub>Si intermetallic compound", Scripta

- Metallurgica et Materialia 32 (1995) 1435.
- [ 7 ] U. Mizutani and C.H. Lee, "Effect of mechanical alloying beyond the completion of glass formation for Ni-Zr alloy powders", J. Mat. Sci. 25 (1990) 399.
- [ 8 ] R. Schwarz and C.C. Koch, "Formation of amorphous alloys by the mechanical alloying of crystalline powders of pure metals and powders of intermetallics", Appl. Phys. Lett. 49 (1986) 146.
- [ 9 ] C.H. Lee, T. Fukunaga, Y. Yamada, H. Okamoto and U. Mizutani, "Amorphization process induced by mechanical alloying in immiscible Cu-Ta system", J. Phase Equilibria 14 (1993) 167.
- [10] W.H. Hall, "Characterization of crystal size and strain by X-ray diffraction", J. Inst. Met. 75 (1948) 1127.
- [11] T.B. Massalski, "Binary alloy phase diagrams", 2nd ed. (ASM, 1990) p. 2547.
- [12] F.R. de Boer, R. Boom, W.C.M. Matten, A.R. Miedema and A.K. Niessen, "Cohesion in metals" (North-Holland, Amsterdam, 1988) p. 248.
- [13] H.J. Fecht, E. Hellstern, Z. Fu and W. L. Johnson, "Nanocrystalline metals prepared by high-energy ball milling", Metal. Trans. 21 (1990) 2333.
- [14] C.H. Lee, M. Mori and U. Mizutani, "Differential scanning calorimetry study of various intermetallic compounds subjected to mechanical grinding", J. Non-Cryst. Solids 117-118 (1990) 733.